

Б - 247

**ОБЪЕДИНЕННЫЙ ИНСТИТУТ ЯДЕРНЫХ ИССЛЕДОВАНИЙ
ЛАБОРАТОРИЯ ЯДЕРНЫХ ПРОБЛЕМ**

2 - 7714

БАРДИН Дмитрий Юрьевич

**НЕКОТОРЫЕ ВОПРОСЫ ФИЗИКИ
СЛАБЫХ ВЗАИМОДЕЙСТВИЙ**

**Специальность 01.04.02 - теоретическая
и математическая физика**

**Автореферат диссертации на соискание ученой степени
кандидата физико-математических наук**

(Диссертация написана на русском языке)

Дубна 1974

2 - 7714

Работа выполнена в Лаборатории теоретической физики Объединенного института ядерных исследований.

Научный руководитель
доктор физико-математических наук,
старший научный сотрудник

С.М.БИЛЕНЬКИЙ

Официальные оппоненты:
доктор физико-математических наук, профессор С.С.ГЕРШТЕЙН,
кандидат физико-математических наук Э.О.ОКОНОВ

Ведущее научно-исследовательское учреждение - Институт
теоретической и экспериментальной физики ГКАЭ, г. Москва.

Автореферат разослан " " 1974 года.

Защита диссертации состоится в час." " 1974 г.
на заседании Ученого совета Лаборатории ядерных проблем
Объединенного института ядерных исследований, г. Дубна, Мос-
ковской области.

С диссертацией можно ознакомиться в Центральной библиотеке
ОИЯИ.

Ученый секретарь Совета
кандидат физико-математических наук

Ю.А.БАТУСОВ

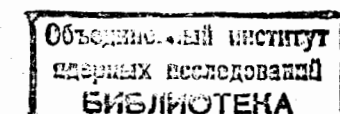
БАРДИН Дмитрий Юрьевич

НЕКОТОРЫЕ ВОПРОСЫ ФИЗИКИ
СЛАБЫХ ВЗАИМОДЕЙСТВИЙ

Специальность 01.04.02 - теоретическая
и математическая физика

Автореферат диссертации на соискание ученой степени
кандидата физико-математических наук

(Диссертация написана на русском языке)



Настоящая диссертация посвящена: I) анализу слабоэлектромагнитных распадов пионов и каонов

$$\pi(K) \rightarrow \ell + \nu_\ell + \gamma, \quad (1)$$

$$\pi(K) \rightarrow \ell + \nu_\ell + \ell'^+ + \ell'^- \quad (2)$$

с точки зрения получения информации о структуре π - и K -мезонов; 2) анализу вопроса о том, какие выводы о взаимодействии между нейтрино позволяют сделать имеющиеся экспериментальные данные.

Диссертация состоит из введения, четырех глав, заключения и трех приложений. Большая часть посвящена первому вопросу. Второй вопрос рассмотрен в четвертой главе.

Весьма интересными для изучения структуры адронов представляются такие полулептонные процессы, которые обусловлены совместным проявлением слабого и электромагнитного взаимодействий, поскольку их матричный элемент (м.э.) от двух адронных токов (слабого и электромагнитного) является объектом более сложным, чем м.э. слабых или электромагнитных процессов. Распады (1) и (2) описываются простейшим м.э. от двух токов – переход $\pi(K)$ -мезон \rightarrow вакуум, поэтому их исследование позволяет получить наиболее чистую информацию о таких фундаментальных объектах, как адронные токи. Естественно, что процессы (1) и (2) представляют большой интерес для теории^{/I-8/}. Распады (1) и (2) весьма редки и изучены к настоящему времени недостаточно. Имеются лишь ограниченные экспериментальные данные^{/9-12/}. Можно, однако, надеяться, что после вступления в строй ускорителей типа "мезонных фабрик" детальное изучение распадов (1) и (2) на опыте станет вполне возможным, поэтому их подробное теоретическое рассмотрение представляется актуальным.

В первой главе диссертации дан обзор теоретических и экспериментальных работ, посвященных распадам (1) и (2). М.э. процессов

(2) можно записать в виде суммы двух членов: один пропорционален амплитуде $f_{\pi(K)}$ безрадиационных распадов $\pi(K) \rightarrow l\nu_l$, $W_{\pi(K) \rightarrow l\nu_l} = \frac{G_F^2}{8\pi} M m_l^2 \left(1 - \frac{m_l^2}{M}\right)^2$ и описывает внутреннее тормозное излучение (IB), а другой отвечает структурному излучению (SD) и характеризуется формфакторами (Φ . Φ). Из общих требований градиентной и лоренц-инвариантностей следует, что м.э. может быть представлен в виде¹⁾:

$$\langle f | S | l \rangle = \frac{e^2 G_F^2 (K^2 m_l)}{\sqrt{2}} \left[\frac{1}{K^2 (2\pi)^2} \delta(q-K-Q) \epsilon_u \left\{ m_l \bar{U}(p) (1-\gamma_5) \left[\frac{2Q_u + K_u}{2(q_K) - K^2} - \frac{2p_u + \bar{K}_u}{2(p_K) + K^2} \right] U(-p) + \frac{i}{M^2} \left[d(K^2) \frac{2Q_p}{Q^2 + M^2} (K^2 Q_u - (q_K) K_u) - \alpha(K^2, Q^2) \epsilon_{u p p} K_p Q_u + \right. \right. \right. \\ \left. \left. \left. + \beta(K^2, Q^2) (Q_u K_p - (q_K) \delta_{u p}) + C(K^2, Q^2) (K_u K_p - K^2 \delta_{u p}) + \frac{1}{M^2} h(K^2, Q^2) Q_p (K^2 Q_u - (q_K) K_u) \right] b_p \right\} \right]. \quad (3)$$

Здесь q, p, p_1, p_2, p_3 – 4-импульсы $\pi(K), \nu_l, l^+, l'^+, l^-$, соответственно; M, m_l, m – массы $\pi(K), l$ и l' ; $K = p_2 + p_3$, $Q = p + p_1$, $\epsilon_u = \bar{U}(p_3) \gamma_u U(-p_2)$, $b_p = \bar{U}(p) \gamma_p (1-\gamma_5) U(-p)$; a, b, c и h – ф.ф., зависящие от инвариантов K^2 и Q^2 , причем ф.ф. a обусловлен вкладом векторного тока, а остальные – вкладом аксиального тока; $d(K^2) = M^2 \frac{1 - F_M(K^2)}{K^2}$, $F_M(K^2) = F_M(K^2, Q^2 = -M^2)$ – электромагнитный ф.ф. реального мезона. Только при такой записи м.э. (3) ф.ф. a, b, c и h не имеют $\pi(K)$ -мезонного полюса при $Q^2 = -M^2/6$. При $K^2 = 0$ выражение (3) описывает амплитуду процессов (I), поэтому a, b, c и h не должны иметь полюса и при $K^2 = 0$. Если имеет место Т-инвариантность, то ф.ф., входящие в (3), вещественны. Выражение для амплитуды процессов (I) может быть получено из (3), если в последнем положить $K^2 = 0$, сделать замену нормировочного множителя и $\frac{1}{K^2} \epsilon_u \rightarrow \epsilon_u'(K)$ – 4-вектор поляризации реального фотона. Полученный м.э. характеризуется двумя ф.ф., зависящими от инварианта Q^2 , которые мы будем обозначать $a^S(Q^2)$ и $b^S(Q^2)$. Существует большое число работ, посвя-

1) Если м.э. (3) описывает процессы с тождественными частицами $l \equiv l'$, то его необходимо антисимметризовать.

щенных нахождению ф.ф. процессов (I) и (2) в рамках различных моделей.

В случае π -распадов из-за малости энерговыделения естественно предположить, что ф.ф. слабо зависят от K^2 и Q^2 , и обычно этой зависимостью пренебрегают. Тогда π -распады (I) описываются двумя параметрами: $a_\pi = a_\pi(0,0)$ и $b_\pi = b_\pi(0,0)$, а π -распады (2) – пятью: $a_\pi, b_\pi, c_\pi, h_\pi$ и $d_\pi = \frac{1}{6} M_\pi^2 \langle \Gamma_\pi^2 \rangle$.

Гипотеза СВС позволяет связать параметр a_π с амплитудой \bar{a}_π распада $\pi^0 \rightarrow \gamma\gamma$ $|W_{\pi^0 \rightarrow \gamma\gamma}| = \alpha^2 \pi M_\pi / |\bar{a}_\pi|^2$. В наших обозначениях эта связь имеет вид $a_\pi = -M_\pi \bar{a}_\pi / F_\pi$, где $F_\pi = f_\pi / \sqrt{2} \cos \theta$, а θ – угол Кабббо.

Модуль параметра a_π связан с вероятностью распада $\pi^0 \rightarrow \gamma\gamma$ соотношением

$$|a_\pi| = \frac{M_\pi}{\alpha |F_\pi|} \sqrt{\frac{|W_{\pi^0 \rightarrow \gamma\gamma}|}{\pi M_\pi}} = 0.027 \quad (4)$$

(численное значение отвечает $\Gamma_{\pi^0} = 0,84 \cdot 10^{-16}$ сек). Извлечение из экспериментов по исследованию распадов (I) и (2) параметра a_π позволит, следовательно, проверить соотношение (4). Такая проверка СВС представляет большой интерес из-за присутствия электромагнитного поля^{/7/}. В работе^{/4/} a_π вычислен в предположении ρ -доминантности в безвычитательном дисперсионном соотношении (БДС) по переменной Q^2 . Найденное значение $a_\pi = 0,036$ довольно близко к (4). Предположение о слабой зависимости ф.ф. от K^2 и Q^2 в π -распадах позволяет получить ряд низкоэнергетических теорем для параметров. В работе^{/6/} показано, что $h_\pi = 0$. Привлекая дополнительно гипотезу РСАС и алгебру токов, можно показать, что^{/2,6/}

$$c_\pi = 2d_\pi = \frac{1}{3} M_\pi^2 \langle \Gamma_\pi^2 \rangle. \quad (5)$$

С помощью техники мягких пионов для b_π в работе^{/2/} найдено зна-

чение

$$\beta_x = \frac{M_\pi^2}{2M_p^2} = 0.016. \quad (6)$$

Аксиальные параметры K -распадов могут быть вычислены в рамках техники жестких пионов^{/13/} и выражены через единственный параметр δ_A ($1+\delta_A$ – а.м.м. A_1 -мезона). Ограничимся приведением результатов для β_x и C_x , поскольку, как показали расчеты, распады (2) нечувствительны к вкладам ф.ф. d и h .

$$\beta_x = -\delta_A \frac{M_\pi^2}{2M_p^2} = 0.82 \cdot 10^{-2}, C_x = \frac{M_\pi^2}{2M_p^2} (3-\delta_A) = 5.8 \cdot 10^{-2} \quad (7)$$

(численные значения отвечают $\delta_A = -1/2$). Интересно отметить, что в выражении (7) для β_x приводит также ДС с одним вычитанием в предположении A_1 -доминантности, тогда как БДС приводят к результату, отличающемуся по величине и знаку^{/4/}. Если принять справедливость СВС, то $|a_x|$ надо считать известным и тогда распады (1) можно описать параметрами $S = \text{sign}(f_x \bar{a}_x)$ и $\chi_x = \beta_x / a_x$, а распады (2) – $S, \gamma_x, \xi_x = C_x / a_x$. В эксперименте^{/9/} для χ_x было найдено два решения ($\chi_x = 0,30$ и $-2,0$ при $f_x = 0,84 \cdot 10^{-16}$ сек) из-за квадратичной зависимости вероятности от χ_x .

Для нахождения векторного ф.ф. в K -распадах (2) обычно используют предположение о K^* -доминантности, основываясь на том, что она хорошо описывает ф.ф. K_{l_3} -распадов. В таком случае^{/5,8/}

$$a(K^2, Q^2) = \frac{M_K^2 M_p^2 g_{K^*} g_{K^* K}}{F_K (M_{K^*}^2 + Q^2)(M_p^2 + K^2)}. \quad (8)$$

Аксиальные ф.ф. могут быть найдены с помощью техники жестких яконов^{/5/}. При представлении амплитуды в виде (3) для ф.ф. получают^{/8/} существенно более компактные выражения, чем найденные в работе^{/5/}:

$$\beta_x(K^2, Q^2) = \frac{-S_K M_K^2 M_p^2 g_{K^*}^2}{F_K^2 M_{K_A}^2 (M_p^2 + K^2)(M_{K_A}^2 + Q^2)}, C_x(K^2, Q^2) = \frac{M_K^2}{M_p^2 + K^2} \left\{ \frac{M_p^2 g_{K_A}^2 \Delta}{F_K^2 M_{K_A}^2 (M_p^2 + Q^2)} + 1 \right\}, d_x(K^2) = \frac{C_x(K^2, 0)}{2}. \quad (9)$$

В формулах (8) и (9) g_{K^*} , g_{K_A} и $g_{K^* K}$ – константы распадов

$K^* \rightarrow l \nu, K_A \rightarrow l \nu$ и $K^* \rightarrow K \gamma$, соответственно; $F_K = f_K / \sqrt{2} \sin \theta$.

$1 + \delta_K$ – а.м.м. K_A (I260) – мезона, а $\Delta = M_{K_A}^2 / M_p^2 - 1 - \delta_K$. Поскольку K^2 и Q^2 сравнимы с квадратами масс M_p^2 и $M_{K_A}^2$, то предположение о слабой зависимости ф.ф. от K^2 и Q^2 , справедливо для K -распадов, в данном случае неприменимо. Для феноменологического описания K -распадов (1) по аналогии с K_{l_3} -распадами мы будем использовать следующее четырехпараметрическое представление^{/7/}:

$$a_x^r(Q^2) = a_K \left(1 - \lambda_K^v \frac{Q^2}{M_K^2} \right), \quad \beta_x^r(Q^2) = \beta_K \left(1 - \lambda_K^A \frac{Q^2}{M_K^2} \right). \quad (10)$$

Несмотря на то, что K -распады (2) нечувствительны к ф.ф. d и h и эффективно описываются тремя ф.ф., использование представления, аналогичного (10), кажется неразумным, т.к. требует введения девяти параметров. Поэтому мы будем использовать следующие "полуфеноменологические" выражения для ф.ф.^{/8/}:

$$a_x(K^2, Q^2) = a_K \left[\left(1 + \frac{K^2}{M_p^2} \right) \left(1 + \frac{Q^2}{M_{K_A}^2} \right) \right]^{-1}, \quad (II)$$

$$\beta_x(K^2, Q^2) = \beta_K \left[\left(1 + \frac{K^2}{M_p^2} \right) \left(1 + \frac{Q^2}{M_{K_A}^2} \right) \right]^{-1}, \quad (III)$$

$$C_x(K^2, Q^2) = C_K \left[\left(1 + \frac{K^2}{M_p^2} \right) \left(1 + \frac{Q^2}{M_{K_A}^2} \right) \right]^{-1}. \quad (IV)$$

Оба представления учитывают зависимость от K^2 и Q^2 . Представление (II)–(IV) применимо лишь в той степени, в которой справедливо предположение о доминантности ближайших резонансов. Отметим, что формула (9) для ф.ф. C не совпадает с (IV). Расчеты показали, однако, что различие двух формул практически не сказывается на наблюдаемых вероятностях (отличие менее 3%). Поэтому трехпараметрическое описание K -распадов (2) с помощью формул (II)–(IV) не

противоречит модели, использующей технику жестких каонов. Параметризация (II)-(I3) представляется разумной и еще по двум причинам: I) если доминантность ближайших резонансов имеет место, то зависимость от K^2 и Q^2 определяется только массами этих резонансов; 2) существует большая неопределенность в теоретическом предсказании значений a_K , b_K и c_K , поэтому их удобно считать свободными параметрами и извлекать непосредственно из опыта, что позволит проверить предсказания моделей. Для численных оценок будем использовать следующие значения параметров: при $g_{K^*} = 0,15 M_{K^*}^2$ и $g_{K^* K\gamma} = 1 \text{ Гэв}^{-1}$

$$a_K = 0.35; \quad (14)$$

при $\delta_K = -1/2$ из (9) следует

$$b_K = 0.048, c_K = 0.62; \quad (15)$$

при полной K^* - и K_A -доминантности

$$\lambda_K^\nu = M_K^2 / M_{K^*}^2 = 0.31, \lambda_K^\Lambda = M_K^2 / M_{K_A}^2 = 0.15. \quad (16)$$

В главе 2 выясняется вопрос о том, какую информацию о параметрах a , b , λ^ν и λ^Λ можно получить, изучая распады (I) на опыте^{7/}. С этой целью вычислены и проанализированы энергетические спектры лептонов и γ -квантов при условии, что угол θ между ℓ и γ больше некоторого θ_0 . При вычислении спектров мы ограничивались членами, линейными по λ^ν и λ^Λ . Нормированный на полную вероятность спектр по энергии лептона представлен в виде

$$dR/dy = F_{IB} - a F_{INT} + (a+b)^2 F_{SD}^{(\nu)} + (a-b)^2 F_{SD}^{(\Lambda)} + \bar{F}_{SD}^\lambda. \quad (17)$$

Здесь F_{IB} , F_{INT} , $F_{SD}^{(\nu)}$ - функции от $y = -2(q_F)/M^2$, описывающие вклад в спектр, обусловленный соответственно квадратом амплитуды IB, интерференцией амплитуд IB и SD и квадратом SD; \bar{F}_{SD}^λ - часть SD-вклада, линейная по λ^ν и λ^Λ . Аналогично представлен

спектр по энергии фотона $x = -2(q_K)/M^2$. Соответствующие вклады обозначены через Φ_{IB} , Φ_{INT} и т.д. Приведем результаты выполненного анализа для трех рассмотренных распадов²⁾.

В лептонный спектр для распада $\pi \rightarrow e \nu_e \gamma$ существенный вклад дают лишь F_{IB} и $F_{SD}^{(\nu)}$. Важной особенностью спектра является то, что $F_{SD}^{(\nu)}$ и $F_{SD}^{(\Lambda)}$ пересекаются. Это означает, что можно определить $(a_K + b_K)^2$ и $(a_K - b_K)^2$. При этом для $|a_K|$ и $|b_K|$ можно найти два решения ($|a_K| = |b_K|$) и проверить (двузначно) предсказываемое CVC соотношение (4). Такая проверка CVC благодаря присутствию электромагнитного поля представляется весьма интересной.

Если для $|a_K|$ принять значение (4) и исследовать зависимость спектра от γ_π , то оказывается, что спектр весьма чувствителен к γ_π . Это позволяет однозначно определить параметр γ_π . Важно отметить, что такая возможность имеется в широкой области углов θ : $\pi/4 \leq \theta \leq 3\pi/4$. Функции $\Phi_{SD}^{(\pm)}$ имеют существенно отличное поведение: они нигде не пересекаются. Так же как и в случае лептонного спектра, вклады Φ_{INT} и \bar{F}_{SD}^λ пренебрежимо малы. Следовательно, изучая распад $\pi \rightarrow e \nu_e \gamma$, нельзя определить параметры λ и знаки a_K и b_K .

В случае распада $K \rightarrow e \nu_e \gamma$ функции, входящие в выражения (17), обнаруживают весьма различное поведение в широких областях изменения x и y . Поэтому при измерении во всем фазовом объеме существует возможность получить информацию обо всех параметрах. Из-за малости интерференционных членов измерение лептонных и фотонных спектров не позволяет однозначно определить параметры. При

²⁾Процесс $\pi \rightarrow \mu \nu \gamma$ не рассматривался, т.к. он не представляет интереса с точки зрения изучения структурного излучения /14/.

фиксированном a_κ ³⁾ спектры обнаруживают большую чувствительность к параметрам χ_κ и λ_κ , т.е. при анализе распада $K \rightarrow e\nu_e\gamma$ нельзя пренебречь зависимостью ф.ф. от Q^2 .

Измерения в широких областях изменения x и y затруднены из-за фона от K_{e_3} -распада, от которого, в принципе, можно избавиться, если достаточно точно измерять x, y, θ . В области, свободной от фона ($y \geq 0,92$), доминируют $\Phi_{SD}^{(\nu)}$ и Φ_{SD}^λ , поэтому в ней можно получить лишь ограниченную информацию о параметрах.

Полная вероятность распада определяется, в основном, вкладом SD , который при $\lambda_\kappa^{\nu,A}=0$ и $\chi_\kappa=0$ составляет величину порядка $5 \cdot 10^{-5} W_K$, т.е. превышает вероятность распада $K \rightarrow e\nu_e$.

В отличие от предыдущего случая, в спектре распада $K \rightarrow \mu\nu_\mu\gamma$ дают существенный вклад интерференционные члены, что позволяет определить знаки параметров a_κ и b_κ . Из-за доминирования вклада IB спектры слабо чувствительны к параметрам λ_κ . При энергии фотона, большей 1 Мэв, полная вероятность распада равна $1,0 \cdot 10^{-2} W_K$. В недавнем эксперименте^{/II/} была впервые измерена вероятность распада $K^+ \rightarrow \mu^+\nu_\mu\gamma$. В определенной кинематической области было найдено значение $(1,8 \pm 1,1) \cdot 10^{-4} W_K$. Усредненное по экспериментальной эффективности регистрации соответствующее теоретическое значение равно $1,0 \cdot 10^{-4} W_K$. Вклад в этой области обусловлен главным образом IB, поэтому на величину a_κ можно получить лишь очень грубые ограничения $-9 < a_\kappa < 3,5$, если считать $b_\kappa=0$. Результаты теоретического анализа этого распада, выполненные в настоящей работе, использовались при обработке эксперимента^{/II/}.

3) Если при анализе эксперимента^{/I2/} считать $\chi_\kappa=0$, то для a_κ можно найти: $|a_\kappa|=0,45 \pm 0,10$. Этот эксперимент, однако, нечувствителен к $|a_\kappa - b_\kappa|$, что приводит к большой неопределенности в определении χ_κ .

С целью получения дополнительной информации о структурной части амплитуды $K \rightarrow \ell\nu_\ell\gamma$ -распадов мы вычислили поляризацию лептонов и исследовали вопрос о ее чувствительности к параметрам.

В главе 3 вычислены дифференциальные dW , полные и интегральные⁴⁾ вероятности шести распадов (2). Численные расчеты выполнялись путем усреднения выражения dW (оно приведено в Приложении А) методом Монте-Карло (ММК), для чего написана специальная программа (ее алгоритм описан в Приложении В), обеспечивающая возможность быстрого вычисления на ЭВМ.

Отношение R вероятности процессов (2) к полной вероятности $K(K)$ -распадов $W_{K(K)}$ представим в виде:

$$R_{K(K)} = W(K(K) \rightarrow \ell\nu_\ell \ell' \nu_{\ell'}) / W_{K(K)} = IB + A^2 + A + B^2 + B + A \cdot B + C^2 + C + A \cdot C + B \cdot C. \quad (18)$$

Здесь $A \cdot C$, например, – полный вклад (включая вклад обменных диаграмм⁵⁾ для процессов с $\ell = \ell'$) в R интерференции тех частей амплитуды, которые содержат ф.ф. a и C ; A – вклад в R интерференции амплитуды, содержащей ф.ф. A , с амплитудой IB и т.д. Представление вероятности процессов (2) в виде (18) весьма удобно, т.к. позволяет выделить вклады каждого из ф.ф. (в выражении (18) опущены вклады несущественных ф.ф. h и d). В Таблице приведены значения вкладов в полную вероятность всех членов формулы (18). Вероятность распада $K \rightarrow e\nu_e e^+ e^-$ вычислена для значений параметров (4) и (7), а вероятности K -распадов при ф.ф., определяемых формулами (11)-(13), и значениях параметров (14)-(15). Поэтому малы вклады, содержащие ф.ф. b . Все вклады легко пересчитать для любых других a' , b' и c' . В случае K -распадов вычисления были выполнены

4) Т.е. вероятность в части фазового объема.

5) Как показали вычисления, учет тождественности частиц для процессов с $\ell = \ell'$ в некоторых членах изменяет результат в два раза.

Таблица

Численные значения вкладов в полную вероятность величин, входящих в равенство (18) (в единицах $10^{-8} W_{\pi(K)}$)

Процесс	$\pi \rightarrow e\nu_e e^+e^-$	$K \rightarrow \mu\nu_\mu e^+e^-$	$K \rightarrow e\nu_e \mu^+\mu^-$	$K \rightarrow e\nu_e e^+e^-$	$K \rightarrow \mu\nu_\mu \mu^+\mu^-$
Вклад					
I _B	$8,5 \cdot 10^{-1}$	$2,5 \cdot 10^3$	$3,0 \cdot 10^{-5}$	$2,8 \cdot 10^{-1}$	$3,8 \cdot 10^{-1}$
A ₂	$3,3 \cdot 10^{-2}$	$1,2 \cdot 10$	$4,6 \cdot 10^{-2}$	$1,5 \cdot 10$	$1,3 \cdot 10^{-2}$
A	$-1,3 \cdot 10^{-2}$	$-5,3 \cdot 10$	$-1,2 \cdot 10^{-5}$	$-6,3 \cdot 10^{-2}$	$-8,3 \cdot 10^{-2}$
B ²	$3,4 \cdot 10^{-3}$	$2,0 \cdot 10^{-1}$	$1,7 \cdot 10^{-3}$	$2,8 \cdot 10^{-1}$	$9,1 \cdot 10^{-4}$
B	$4,1 \cdot 10^{-3}$	9,5	$2,6 \cdot 10^{-6}$	$8,4 \cdot 10^{-3}$	$2,9 \cdot 10^{-2}$
C ²	$1,8 \cdot 10^{-2}$	1,2	$6,8 \cdot 10^{-1}$	3,8	$2,7 \cdot 10^{-1}$
C	$4,7 \cdot 10^{-4}$	5,1	$4,7 \cdot 10^{-5}$	$6,9 \cdot 10^{-4}$	$3,9 \cdot 10^{-1}$
B·C	$5,1 \cdot 10^{-3}$	$2,5 \cdot 10^{-1}$	$5,0 \cdot 10^{-2}$	$6,0 \cdot 10^{-1}$	$2,8 \cdot 10^{-2}$
Сумма	$9,0 \cdot 10^{-1}$	$2,5 \cdot 10^3$	$7,8 \cdot 10^{-1}$	$2,1 \cdot 10$	1,0
Ошибка	$1,6 \cdot 10^{-2}$	2,0	$2,1 \cdot 10^{-3}$	$7,5 \cdot 10^{-2}$	$2,0 \cdot 10^{-3}$

Примечание: в последней строке приведена статистическая ошибка вычисления по ММК.

также и при постоянных ф.ф. ($K^2 = Q^2 = 0$). Различие двух вычислений достигает 20% для процессов e^+e^- -парой и 35% - с $\mu^+\mu^-$. Таким образом, учет зависимости ф.ф. от K^2 и Q^2 является необходимым для K -распадов. Отметим, что знаки интерференционных членов A, A²·B и т.д., вообще говоря, неизвестны. Обсудим теперь каждый распад отдельно.

Полная вероятность процесса $\pi \rightarrow \mu\nu_\mu e^+e^-$ определяется вкладом I_B, поэтому он не представляет интереса для изучения SD-излучения. Мы нашли: $R_{I_B} = 0,33 \cdot 10^{-6}$, в отличие от $R_{I_B} = 2,5 \cdot 10^{-6}$, приведенного в работе^{/15/}, и от $R_{I_B} = 0,63 \cdot 10^{-7}$ из работы^{/5/}. Учитывая это расхождение, мы проверили наши расчеты по ММК путем сведения вкладов прямых диаграмм к двойным интегралам, которые были затем вычислены на ЭВМ. Подобное дублирование расчетов было сделано для всех шести

распадов вследу, где это возможно (так, например, обменные вклады не могут быть сведены к двойным интегралам). Мы получили одинаковые результаты при двух способах вычислений.

В процессе $\pi \rightarrow e\nu_e e^+e^-$ доминирует вклад I_B. Для его подавления надо отбирать события со значениями инвариантных масс e^+e^- -пары $|K^2|$ и $|n^2|$ ($n = p_1 + p_3$), большими некоторого \bar{K}^2 ⁶⁾. Мы рассчитали интегральные вероятности для различных \bar{K}^2 . Кроме того, накладывались ограничения на энергии трех заряженных частиц: $E_i > \bar{E}$. Такое обрезание отвечает постановке эксперимента^{/10/}.

Если принять справедливость СVC, то, анализируя проведенные вычисления, можно сделать следующие выводы о возможности определения трех параметров γ_x , ξ_x и S , характеризующих в таком случае распад $\pi \rightarrow e\nu_e e^+e^-$:

1. Существует кинематическая область ($\bar{E} \sim 10 \div 15$ Мэв; $|K^2|$ или $|n^2| \leq 0,01 M_\pi^2$), где параметры ξ_x и S практически не скрываются на вероятности. Измерение в этой области позволит получить дополнительную информацию о параметре γ_x (по отношению к той, которую можно получить, изучая $\pi \rightarrow e\nu_e \chi$). При этом необходимо проводить измерения на уровне $2 \cdot 10^{-9} W_\pi$.

2. Если γ_x известно, то измерения в области $\bar{E} \sim 10 \div 15$ Мэв, $|K^2|$ и $|n^2| \geq 0,01 M_\pi^2$ позволяет определить (двузначно) параметр ξ_x . В этом случае нужно проводить измерения на уровне $4 \cdot 10^{-10} W_\pi$.

3. Если ξ_x определен из измерения в последней области, то с помощью соотношения $\xi_x = -S \langle \zeta^2 \rangle M_\pi / E / 3 |\partial_\alpha|$, следующего из (5), можно: а) проверить справедливость гипотез, лежащих в основе его

6) Из-за наличия двух тождественных частиц любые экспериментальные обрезания должны быть симметризованы.

вывода; б) получить информацию об электромагнитном радиусе κ -мезона и об относительном знаке S амплитуд \bar{a}_K и f_K . Проведенные расчеты широко используются при анализе эксперимента^[10].

В распаде $K \rightarrow \mu\nu_e e^+ e^-$ также доминируют IB, и мы вычислили интегральные вероятности при $|K^4| \geq M_o^2$ и $2M_o^2$, где M_o – масса π^0 -мезона. Обрезание M_o^2 выбрано из двух соображений: 1) при таком обрезании уже сильно подавлено тормозное излучение, но еще велико структурное; 2) область $|K^4| \geq M_o^2$ свободна от фона, происходящего от K_{l_3} -распада с последующим распадом $\pi^0 \rightarrow e^+ e^-$. Такой каскад имитирует распады с $e^+ e^-$ -парой. В Приложении Б исследована возможность измерения этих распадов в области, занятой фоном. Для распада $K \rightarrow \mu\nu_e e^+ e^-$ такие измерения оказываются вполне возможными, но не представляют интереса из-за доминирования IB. Основной вклад при $|K^4| \geq M_o^2$ дают члены IB, A, C и C^2 . При этом структурное излучение характеризуется вероятностью $2 \cdot 10^{-8} W_K$, что значительно больше, чем в области больших $|K^4|$ для процесса $\pi \rightarrow e\nu_e e^+ e^-$. Большая величина вкладов A, C и C^2 позволяет получить достаточно полную информацию о параметрах a_K и c_K . Таким образом, этот распад представляет значительный интерес для изучения структурного излучения.

В распаде $K \rightarrow e\nu_e \mu^+ \mu^-$ вклады IB, A, B и C подавлены из-за подавления распада $K \rightarrow e\nu_e$. Дают вклад только $A^2, B^2, B \cdot C$ и C^2 , причем доминирует C^2 . Исследование этого распада позволит найти величину c_K .

В полную вероятность распада $K \rightarrow \mu\nu_e \mu^+ \mu^-$ дают вклад все члены. Доминируют IB, C и C^2 . Исследование этого распада даст информацию обо всех трех параметрах.

Распад $K \rightarrow e\nu_e e^+ e^-$ из-за большого энерговыделения имеет наибольшую вероятность структурного излучения. Большая часть фазового

объема процесса занята фоном от K_{l_3} -распада. В Приложении Б мы исследуем возможность его экспериментального изучения во всем фазовом объеме^[16] и показываем, что отношение фон/эффект может быть сделано достаточно малым. Так же как и для процесса $K \rightarrow e\nu_e \mu^+ \mu^-$, вклад практически дает только члены $A^2, B^2, B \cdot C$ и C^2 . Самым важным свойством этого распада является то, что в его фазовом объеме существуют две различные области: при малых $|K^4|$ и $|n^4|$ доминируют A^2 и B^2 , а при больших – C^2 . Изучение распределения по K^2 и n^2 даст наиболее полную информацию о модулях параметров a_K , b_K и c_K .

Проведенный анализ K -распадов (2) показал, что их исследование на опыте позволит: 1) измерить параметры a_K , b_K и c_K , что даст возможность проверить предсказания моделей; 2) проверить сделанное предположение, что зависимость ф.ф. от K^2 и Q^2 определяется только массами ближайших резонансов. Отметим, что уже сама возможность описания четырех процессов тремя параметрами будет служить доводом в пользу этого предположения.

Четвертая глава посвящена феноменологическому рассмотрению вопроса о взаимодействии между нейтрино^[17, 18]. Очевидно, что такое взаимодействие приведет: а) к новым распадам частиц, например:

$$\pi(K) \rightarrow l + \nu_l + \nu + \bar{\nu} ; \quad (19)$$

б) к новым процессам на пучке нейтрино высоких энергий, таким как:

$$\nu_\mu + n \rightarrow \mu^- + p + \nu_{e(e)} + \bar{\nu}_{e(e)} ; \quad (20)$$

$$\nu_\mu + p \rightarrow \mu^+ + n + \nu_\mu + \bar{\nu}_\mu ; \quad (20')$$

в) к появлению нейтриноных ф.ф. в процессах рассеяния нейтрино. При рассмотрении распадов лучшее ограничение на константу F_{vv} получается из анализа экспериментов по исследованию процесса $K^+ \rightarrow e^+ \nu_e$: $F_{vv} \leq 2 \cdot 10^{16} G$ /18/. Константа F_{vv} определяется

эффективным гамильтонианом $\nu\nu$ -взаимодействия, который выбран в виде: $\mathcal{H}_{\nu\nu} = F_{\nu\nu} (\bar{\nu}\chi_\nu) (\bar{\nu}\chi_\nu)$. Распады π -, μ -мезонов, нуклонов и гиперонов менее чувствительны к $F_{\nu\nu}$. Мы вычислили также сечение реакций (20). Ограничения на $F_{\nu\nu}$ можно получить из данных по возможному несохранению лептонного заряда (процесс (20') имитирует нарушение сохранения лептонного заряда). С учетом спектра падающего нейтрино мы нашли: $F_{\nu_N \nu_M} \leq 2 \cdot 10^6 G / 18$. Проведенный анализ, показывающий, что существующим экспериментальным данным не противоречит наличие даже относительно сильного $\nu\nu$ -взаимодействия, стимулировал постановку специального эксперимента по поиску $\nu\nu$ -взаимодействия в распаде $K^+ \rightarrow \mu^+ \nu_\mu \nu \bar{\nu}$ [19]. В этом эксперименте было найдено ограничение, на порядок лучшее предыдущих: $F_{\nu\nu} < 1,7 \cdot 10^5 G$. Мы рассмотрели процесс $K^+ \rightarrow \mu^+ \nu_\mu \nu \bar{\nu}$ более подробно [20]. Были вычислены энергетический спектр и поляризация μ^+ -мезона, а также полная вероятность распада при различных предположениях о виде эффективного гамильтониана $\nu\nu$ -взаимодействия (S , V , T -варианты). Оказалось, однако, что ни форма спектра, ни поляризация не зависят от вида $\nu\nu$ -взаимодействия, что является следствием $V-A$ -структуры гамильтониана обычного слабого взаимодействия.

Основные результаты диссертации опубликованы в работах [6, 7, 8, 16, 18, 20].

Л и т е р а т у р а

1. В.Г.Вакс, Е.Л.Иоффе. ЖЭТФ, 35, 221, 1958.
2. T.Das, V.S.Mathur, S.Okubo. Phys.Rev.Lett., 19, 859, 1967.
3. W.T.Chi, T.Ebata, D.M.Scott. Phys.Rev., 166, 1577, 1968.
4. N.J.Carron, R.L.Schult. Phys.Rev., D1, 3179, 1970.
5. S.Krishna, H.S.Mani. Phys.Rev., D5, 678, 1972.
6. Д.Ю.Бардин, С.М.Биленский, Г.В.Мицельмахер, Н.М.Шумейко. ЯФ, 14, 427, 1971.
7. Д.Ю.Бардин, С.М.Биленский. ЯФ, 16, 557, 1972.
8. Д.Ю.Бардин, Г.В.Мицельмахер, Н.М.Шумейко. ОИЯИ, Р2-7347, Дубна, 1973.
9. P.Depommier, J.Heintze, C.Rubbia, V.Soergel. Phys.Lett., 7, 285, 1963.
10. С.М.Коренченко, Б.Ф.Костин, Г.В.Мицельмахер, К.Г.Некрасов, В.С.Смирнов. ЯФ, 13, 339, 1971.
- II. А.О.Вайсенберг, М.И.Дайон, О.К.Егоров, С.А.Крылов, З.В.Минервина, Е.А.Пожарова, С.В.Скачков, В.А.Смирнитский, В.А.Щеняко. Препринт ИТЭФ, ИО1, М., 1973.
12. K.S.Heard, J.Heintze, G.Heinzelmann, P.Igo-Kemenes, W.Kalbreier, E.Mittag, H.Rieseberg, B.Schrölein, H.W.Siebert, V.Soergel, K.P.Streit, A.Wagner, A.H.Walenta. Preprint Submitted to the II. Aix-en-Provence Int.Conf.on Elementary Particles, 6 to 12, Sept. 1973.
13. H.J.Schnitzer, S.Weinberg. Phys.Rev., 164, 1828, 1967.
14. Д.Ю.Бардин, Г.В.Мицельмахер, Н.М.Шумейко. Письма в ЖЭТФ, 13, 383, 1971.
15. С.А.Пикин, Ю.М.Харкац. ЯФ, 1, 291, 1965.
16. Д.Ю.Бардин, Г.В.Мицельмахер, Н.М.Шумейко. ОИЯИ, Р2-7348, Дубна, 1973.
17. Z.Bialynicka-Birula. Nuovo Cim., 33, 1484, 1964.
18. D.Yu.Bardin, S.M.Bilenky, B.Pontecorvo. Phys.Lett., B32, 121, 1970.
19. G.D.Gable, R.H.Hildebrand, C.Y.Pang, R.Stiening. Phys.Rev., D8, 1989, 1973.
20. D.Yu.Bardin, S.M.Bilenky. JINR, E2-5881, Dubna, 1971.

Рукопись поступила в издательский отдел
4 февраля 1974 года.